

СОБСТВЕННЫЕ ЧАСТОТЫ И ПОЛЯ ОБЪЕМНЫХ РЕЗОНАТОРОВ ТРАПЕЦЕИДАЛЬНОЙ ФОРМЫ

А. И. Терещенко, Ж. Ф. Пащенко

Харьков

Исследуемый резонатор (рис. 1) представляет собой объем, ограниченный плоскими металлическими поверхностями, две из которых — трапеции, а остальные — прямоугольники. Его можно рассматривать как закороченный с двух сторон отрезок нерегулярного волновода прямоугольного сечения, расширяющегося

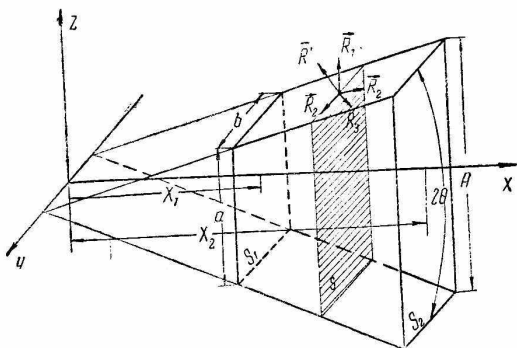


Рис. 1.

в направлении распространения волны. Краевая задача для подобной системы не может быть решена методом разделения переменных, ввиду чего целесообразно использование приближенного метода — метода косоугольных координат [1].

В соответствии с рис. 1

$$u_1 = \operatorname{tg} \varphi = \frac{z}{x}, \quad u_2 = y, \quad u_3 = x, \quad x = u_3, \quad y = u_2, \quad z = u_3 u_1.$$

Координатные векторы \vec{R}_i , взаимные векторы \vec{R}^j и связанные с ними величины:

$$\vec{R}_1 = u_3 \vec{z}_0, \quad \vec{R}_2 = \vec{y}_0, \quad \vec{R}_3 = \vec{x}_0 + u_1 \vec{z}_0,$$

$$R_1 = u_3, \quad R_2 = 1, \quad R_3 = \sqrt{1 + u_1^2}, \quad g_{11} = u_3^2, \quad g_{22} = 1, \quad g_{33} = 1 + u_1^2,$$

$$g_{12} = 0, \quad g_{23} = 0, \quad g_{31} = u_1 u_3, \quad \sqrt{g} = -u_3,$$

$$\vec{R}^1 = \frac{\vec{z}_0 - u_1 \vec{x}_0}{u_3}, \quad \vec{R}^2 = \vec{y}_0, \quad \vec{R}^3 = \vec{x}_0,$$

$$g^{11} = \frac{1 + u_1^2}{u_3^2}, \quad g^{22} = 1, \quad g^{33} = 1, \quad g^{12} = 0, \quad g^{23} = 0, \quad g^{31} = -\frac{u_1}{u_3},$$

где $\vec{x}_0, \vec{y}_0, \vec{z}_0$ — единичные орты.

Налагая граничные условия

$$\begin{aligned} \Psi_e &= 0 \quad \text{при} \quad u_1 = u_{11}, \quad u_{12} \text{ и } u_2 = \pm \frac{b}{2}, \\ \frac{\partial \Psi_h}{\partial u_1} &= 0 \quad \text{при} \quad u_1 = u_{11}, \quad u_{12} \text{ и } u_2 = \pm \frac{b}{2}, \end{aligned} \quad (1)$$

можно определить полную систему скалярных функций Ψ_e и Ψ_h самосопряженных операторов $L(\Psi_e)$ и $L(\Psi_h)$ в поперечном сечении S (рис. 1). Эти функции могут быть найдены из уравнения

$$\frac{1}{u_3} \frac{\partial^2 \Psi_{e,h}}{\partial u_1^2} + \frac{\partial^2 \Psi_{e,h}}{\partial u_2^2} + \kappa_{e,h}^2 \Psi_{e,h} = 0, \quad (2)$$

где $\Psi_{e,h}$ и $\kappa_{e,h}$ — собственные функции и собственные значения для колебаний в рассматриваемом резонаторе.

ТМ-колебания

$$\Psi_e = A_e f_e \sin p \left(u_2 + \frac{b}{2} \right) \sin \nu (u_1 - u_{11}), \quad (3)$$

где

$$\begin{aligned} A_e &= \frac{2}{\sqrt{2u_{12}b}}, \quad f_e = \sqrt{\frac{1}{u_3}}, \quad p = \frac{n\pi}{b}, \\ \nu &= \frac{m\pi}{2u_{12}}, \quad 2u_{12} = u_{12} - u_{11}, \quad u_{12} = \text{tg } \varphi. \end{aligned}$$

ТЕ-колебания

$$\Psi_h = A_h f_h \cos p \left(u_2 + \frac{b}{2} \right) \cos \nu (u_1 - u_{11}), \quad (4)$$

где

$$A_h = \sqrt{\frac{(2 - \delta_{0n})(2 - \delta_{0m})}{2bu_{12}}}, \quad f_h = f_e.$$

Поля в трапецидальном резонаторе могут быть представлены в виде рядов по собственным векторным функциям \vec{E}_a и \vec{H}_b :

$$\vec{E} = \sum_{(a)} U_a \vec{E}_a, \quad \vec{H} = \sum_{(b)} I_b \vec{H}_b, \quad (5)$$

где U_a и I_b — амплитудные коэффициенты, которые могут быть определены из системы волноводных уравнений. Решая эту сис-

тему аналогично тому, как это сделано в работе [1], получим дифференциальные уравнения

$$I_{qe}'' + \left[\frac{\gamma^2}{V_h^2} - \frac{v^2}{u_3^2} \left(\frac{\gamma}{V_h} \right)^2 - (F_e^2 + F_e') \right] I_{qe} = -i\omega \epsilon F_{e,h} U_{qh}; \quad (6)$$

$$U_{qh}'' + \left[\frac{\gamma^2}{V_h^2} - \frac{v^2}{u_3^2} \left(\frac{\gamma}{V_h} \right)^2 - (F_h^2 + F_h') \right] U_{qh} = i\omega \mu F_{eh} I_{qe},$$

где

$$F_e = F_h = \frac{1}{2u_3} \frac{v^2/u_3^2 - p^2}{v^2/u_3^2 + p^2};$$

$$F_e' = F_h' = \frac{1}{2u_3} \frac{(v^2/u_3^2 - p^2) - 2v^4/u_3^4}{(v^2/u_3^2 + p^2)^2};$$

$$\gamma = \sqrt{k^2 - p^2}, \quad k = \omega \sqrt{\epsilon, \mu};$$

$$F_{e,h} = \frac{2vp}{(v^2/u_3^2 + p^2) u_3^2}.$$

В общем случае, когда $v \neq 0$, $p \neq 0$, система полностью не разделяется: между TE - и TM -колебаниями существует связь.

При $v = 0$ или $p = 0$ система уравнений (6) разделяется полностью, и мы получаем уравнения для основных видов колебаний в рассматриваемом резонаторе.

В случае колебаний H_{0nl} ($v = 0$) одно из уравнений (6) преобразуется к виду

$$U_{qh}'' + \left(\Gamma - \frac{1 - 1/4}{u_3^2} \right) U_{qh} = 0, \quad (7)$$

где

$$\Gamma = \gamma \frac{u_{12}}{\text{Arsh } u_{12}}.$$

Решая (7), получаем амплитудные коэффициенты U_{qh} и с учетом граничных условий $U_{qh} = 0$ при $u_3 = X_1$ и $u_3 = X_2$ трансцендентное уравнение для нахождения резонансных частот H_{0nl} -колебаний:

$$\frac{I_1(\Gamma X_1)}{N_1(\Gamma X_1)} = \frac{I_1(\Gamma X_2)}{N_1(\Gamma X_2)}. \quad (8)$$

Введя безразмерный параметр β_{h0nl} [2], получим из (8) уравнение

$$\frac{I_1 \left(\frac{\beta_{h0nl}}{X_2/X_1 - 1} \right)}{N_1 \left(\frac{\beta_{h0nl}}{X_2/X_1 - 1} \right)} = \frac{I_1 \left(\frac{X_2}{X_1} \frac{\beta_{h0nl}}{X_2/X_1 - 1} \right)}{N_1 \left(\frac{X_2}{X_1} \frac{\beta_{h0nl}}{X_2/X_1 - 1} \right)}, \quad (9)$$

откуда

$$\Gamma = \frac{\beta_{h0nl}}{X_2 - X_1}$$

или

$$k = \sqrt{\left(\frac{\beta_{h0nl}}{X_2 - X_1}\right)^2 \left(\frac{\text{Ar sh } u_{12}}{u_{12}}\right)^2 + \left(\frac{n\pi}{b}\right)^2}.$$

Резонансная длина волны H_{0nl} -колебаний в трапецидальном резонаторе

$$\lambda_{H_{0nl}} = \frac{2}{\sqrt{\left[\frac{\beta_{h0nl}}{\pi(X_2 - X_1)} \frac{\text{Arsh } u_{12}}{u_{12}}\right]^2 + \left(\frac{n}{b}\right)^2}}. \quad (10)$$

Для H_{011} -колебаний

$$\lambda_{H_{011}} = \frac{2}{\sqrt{\left[\frac{\beta_{h011}}{\pi(X_2 - X_1)} \frac{\text{Arsh } u_{12}}{u_{12}}\right]^2 + \left(\frac{1}{b}\right)^2}}. \quad (11)$$

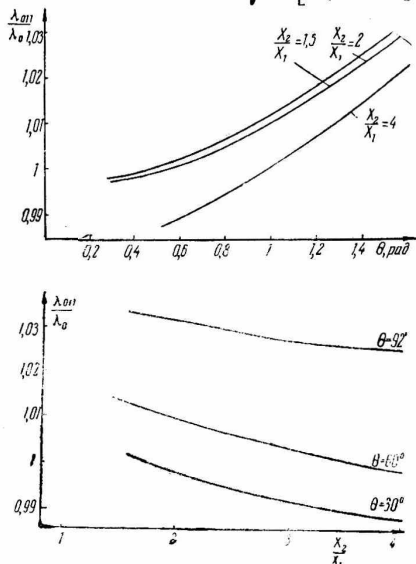


Рис. 2.

Зависимость длины волны колебаний H_{011} от геометрических размеров трапецидального резонатора показана на рис. 2, а, б.

Здесь λ_{011} — резонансная длина волны H_{011} -колебаний трапецидального резонатора; λ_0 — резонансная длина волны H_{011} -колебаний в прямоугольном резонаторе, у которого длина L и размер по оси y совпадают с соответствующими размерами трапецидального резонатора. Как видно из графиков, резонансная длина волн H_{011} -колебаний в трапецидальном резонаторе мало изменяется с изменением угла раствора 2θ и с изменением положения резонатора относительно вершины угла, т. е. величины

$\frac{X_2}{X_1}$ по сравнению с прямоугольным резонатором, который работает на том же типе колебаний и на той же длине волны.

В случае колебаний H_{m0l} ($p = 0$) из (6) получим

$$U_{qh}'' + \left[K^2 - \frac{\alpha^2 - \frac{1}{4}}{u_3^2} \right] U_{qh} = 0, \quad (12)$$

где

$$K^2 = \frac{k^2}{V^2 h}, \quad \alpha = \frac{m\pi (u_{12} \sqrt{1 + u_{12}^2} + \text{Arsh } u_{12})}{4u_{12} \text{Arsh } u_{12}}.$$

Решение уравнения (12) имеет вид

$$U_{qh} = C \sqrt{Ku_3} I_\alpha(Ku_3) + D \sqrt{Ku_3} N_\alpha(Ku_3).$$

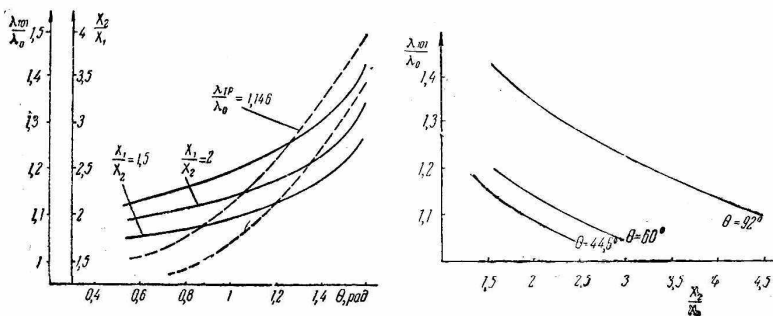


Рис. 3.

Учитывая граничные условия (1), получим трансцендентное уравнение для определения волнового числа k H_{m0l} -колебаний в трапецидальном резонаторе

$$\frac{I_\alpha(KX_1)}{N_\alpha(KX_1)} = \frac{I_\alpha(KX_2)}{N_\alpha(KX_2)}. \quad (13)$$

Вводя новую неизвестную β_{hm0l} , как это было сделано для H_{0nl} -колебаний, и решая уравнение (13), получим следующее выражение для k_{hm0l} :

$$k_{hm0l} = \frac{\beta_{hm0l} \text{Arsh } u_{12}}{(X_2 - X_1) u_{12}}.$$

Резонансная длина волны H_{m0l} -колебаний в трапецидальном резонаторе равна

$$\lambda_{H_{m0l}} = \frac{2\pi (X_2 - X_1) u_{12}}{\beta_{hm0l} \text{Arsh } u_{12}}. \quad (14)$$

Для колебаний H_{101}

$$\lambda_{H_{101}} = \frac{2\pi (X_2 - X_1) u_{12}}{\beta_{h101} \text{Arsh } u_{12}}, \quad (15)$$

где β_{h101} — корни трансцендентного уравнения (13); они могут быть определены для различных значений $\frac{X_2}{X_1}$.

Зависимость $\lambda_{H_{m0l}}$ от геометрии резонатора приведена на рис. 3, а, б. В данном случае, как видно из графиков, изменение геометрии резонатора существенно влияет на резонансную длину волны.

Можно построить трапециевидные резонаторы, которые имеют существенно различные размеры (угол θ , отношение $\frac{X_2}{X_1}$), определяющие положение резонатора относительно вершины угла, длину резонатора $L = X_2 - X_1$, но все они будут работать на одном и том же типе колебаний

α	θ°	$S_1, \text{мм}^2$	$S_2, \text{мм}^2$	$L, \text{мм}$
4	22,3	$56,2 \times 24$	$87,9 \times 24$	38,4
3	20	48×24	$92,4 \times 24$	38,4
2	46	$25,2 \times 24$	$104,8 \times 24$	38,4

H_{m0l} с одной и той же длиной волны. Это одна из интересных особенностей трапециевидного резонатора.

Для проверки проведенных расчетов были изготовлены три резонатора с размерами, указанными в таблице.

Найденная по формуле (15) резонансная длина волны для H_{101} -колебаний в этих резонаторах равна 6,88 см. Резонаторы изготовлялись из латуни; внутренняя поверхность их хорошо отполирована.

Эксперимент показал, что резонансная длина волны первого резонатора — 6,83 см, второго и третьего — 6,82 см. Соответствующие точки нанесены на график рис. 3, б. Отклонение полученных экспериментальных данных от теоретических не превосходит 1%.

Составляющие полей в трапециевидном резонаторе в декартовой системе координат получены при решении волноводных уравнений (5) с учетом граничных условий (1):

для H_{0nl} -колебаний

$$\begin{aligned}
 H_x &= -\frac{\rho \sqrt{\Gamma} A_h Z_{0nl}}{i\omega\mu} \cos p \left(y + \frac{b}{2} \right) \cos \varphi; \\
 H_y &= -\frac{\rho \sqrt{\Gamma} A_h Z_{0nl}}{i\omega\mu} \cos p \left(y + \frac{b}{2} \right) \sin \varphi; \\
 H_z &= \frac{\Gamma \sqrt{\Gamma} V_h A_h R_{0nl}}{i\omega\mu} \sin p \left(y + \frac{b}{2} \right); \\
 E_x &= -\sqrt{\Gamma} A_h Z_{0nl} \sin p \left(y + \frac{b}{2} \right) \sin \varphi; \\
 E_z &= \sqrt{\Gamma} A_h Z_{0nl} \sin p \left(y + \frac{b}{2} \right) \cos \varphi,
 \end{aligned} \tag{16}$$

где

$$Z_{0nl} = M_h \left[\frac{I_1(\Gamma u_3)}{I_1(\Gamma X_1)} - \frac{N_1(\Gamma u_3)}{N_1(\Gamma X_1)} \right];$$

$$R_{0nl} = M_h \left[\frac{I_0(\Gamma u_3)}{I_1(\Gamma X_1)} - \frac{N_0(\Gamma u_3)}{N_1(\Gamma X_1)} \right];$$

для H_{m0l} -колебаний

$$\begin{aligned} H_x &= -\frac{\sqrt{K}}{i\omega\mu} A_h \left[x_h \eta Z_{m0l} \cos \nu (u_1 - u_{11}) \cos \varphi + \right. \\ &\quad \left. + V_h Z'_{m0l} \sin \nu (u_1 - u_{11}) \sin \varphi \right]; \\ H_z &= \frac{\sqrt{K}}{i\omega\mu} A_h \left[V_h Z'_{m0l} \sin \nu (u_1 - u_{11}) \cos \varphi - \right. \\ &\quad \left. - x_h \eta Z_{m0l} \cos \nu (u_1 - u_{11}) \sin \varphi \right]; \\ E_y &= -\sqrt{K} Z_{m0l} A_h \sin \nu (u_1 - u_{11}), \end{aligned} \quad (17)$$

где

$$\begin{aligned} Z_{m0l} &= P_h \left[\frac{I'_\alpha(Ku_3)}{I'_\alpha(KX_1)} - \frac{N'_\alpha(Ku_3)}{N'_\alpha(KX_1)} \right]; \\ Z'_{m0l} &= P_h \left[\frac{I'_\alpha(Ku_3)}{I'_\alpha(KX_1)} - \frac{N'_\alpha(Ku_3)}{N'_\alpha(KX_1)} \right] K; \\ x_h &= \frac{\nu}{u_3}. \end{aligned}$$

ЛИТЕРАТУРА

1. Б. М. Машковцев, К. Н. Цибизов, Б. Ф. Емелин. Теория волноводов. Изд-во «Наука», М.—Л., 1966.
2. Е. Янке, Ф. Эмде, Ф. Леш. Специальные функции (формулы, графики, таблицы). Изд-во «Наука». 1964.